

# ДОПОЛНЕНИЕ Б СПЕЦИАЛЬНЫЕ ФУНКЦИИ И СВЯЗАННЫЕ С НИМИ ФОРМУЛЫ

## Раздел I. УРАВНЕНИЕ ЛАПЛАСА, ПОЛИНОМЫ ЛАГЕРРА, КУЛОНОВСКИЕ ФУНКЦИИ

### § 1. Уравнение Лапласа и вырожденная гипергеометрическая функция

Уравнением Лапласа называется уравнение типа

$$\left[ z \frac{d^2}{dz^2} + (\beta - z) \frac{d}{dz} - \alpha \right] f(z) = 0 \quad (1)$$

(здесь  $\alpha$  и  $\beta$  — произвольные комплексные постоянные). Решение уравнения (1) можно искать в виде степенного ряда. Обычно вырожденной гипергеометрической функцией называется ряд вида

$$F(\alpha, \beta; z) = 1 + \frac{\alpha}{\beta} \cdot \frac{z}{1!} + \frac{\alpha(\alpha+1)}{\beta(\beta+1)} \frac{z^2}{2!} + \dots = \\ = \sum_{n=0}^{\infty} \frac{\Gamma(\alpha+n)}{\Gamma(\alpha)} \frac{\Gamma(\beta+n)}{\Gamma(\beta)} \cdot \frac{z^n}{n!}. \quad (2)$$

Этот ряд:

- 1) вполне определен для произвольных  $\alpha$  и  $\beta$  при  $\beta \neq -p$  ( $p$  целое  $\geqslant 0$ );
- 2) сходится во всей комплексной плоскости  $z$ ;
- 3) является полиномом степени  $p$  ( $p$  целое  $\geqslant 0$ ), если  $\alpha = -p$ , не имеет существенно особую точку на бесконечности, если  $\alpha \neq -p$ ;
- 4) удовлетворяет соотношению Куммера:

$$F(\alpha, \beta; z) = e^z F(\beta - \alpha, \beta; -z). \quad (3)$$

Нетрудно видеть, что если функции

$$F(\alpha, \beta; z) \quad \text{и} \quad z^{1-\beta} F(\alpha - \beta + 1, 2 - \beta; z)$$

существуют<sup>1)</sup>, то они являются двумя линейно независимыми решениями уравнения (1),

По методу Лапласа решения уравнения (1) могут быть также представлены в виде контурных интегралов. Если  $\Gamma$  некоторый контур в комплексной

<sup>1)</sup> Если  $\beta$  не целое, то эти две функции существуют и различны. Если  $\beta = 1$ , то они тождественны друг другу. Если  $\beta = 0, -1, -2, \dots$ , то существует только функция  $z^{1-\beta} F(\alpha - \beta + 1, 2 - \beta; z)$ . Если  $\beta = 2, 3, \dots$ , то существует только функция  $F(\alpha, \beta; z)$ .

плоскости  $t$ , такой, что функция  $t^\alpha(1-t)^{\beta-\alpha}e^{zt}$  принимает одинаковые значения на его концах, то интеграл

$$\int_{\Gamma} e^{zt} t^{\alpha-1} (1-t)^{\beta-\alpha-1} dt \quad (4)$$

является частным решением уравнения (1).

Предположим, что  $\alpha$  не целое,  $\beta = b$  ( $b$  целое  $> 0$ ). Замкнутому контуру  $\Gamma_0$ , охватывающему точки  $t = 0$  и  $t = 1$  (рис. 38)<sup>2</sup>), соответствует решение типа (4). По соглашению  $\arg t - \arg(1-t) = 0$  на той части контура, где  $t$  изменяется вдоль действительной оси между 0 и 1 в направлении возрастающих  $t$ . Это решение, будучи целой функцией  $z$ , пропорционально  $F(\alpha, \beta; z)$ .

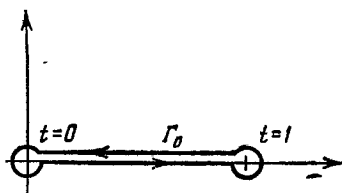


Рис. 38.

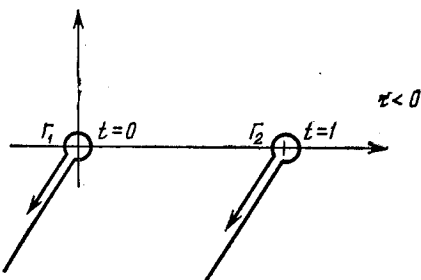


Рис. 39.

Коэффициент пропорциональности получается при разложении  $e^{zt}$  под знаком интеграла и применении формулы

$$B(x, y) = \frac{\Gamma(x)\Gamma(y)}{\Gamma(x+y)} = (1 - e^{2\pi iy})^{-1} \int_{\Gamma_0} t^{x-1} (1-t)^{y-1} dt \quad (5)$$

( $x+y$  — целое,  $y$  не целое).  
Находим

$$F(\alpha, b; z) = (1 - e^{-2\pi i \alpha})^{-1} \frac{\Gamma(b)}{\Gamma(\alpha)\Gamma(b-\alpha)} \int_{\Gamma_0} e^{zt} t^{\alpha-1} (1-t)^{b-\alpha-1} dt. \quad (6)$$

Двум петлям  $\Gamma_1$  и  $\Gamma_2$ , обходящим точки  $t = 0$  и  $t = 1$  соответственно (рис. 39)<sup>3</sup>), отвечают два решения типа (4), нерегуляризые в начале, именно

$$W_r(\alpha, b; z) = (1 - e^{-2\pi i \alpha})^{-1} \frac{\Gamma(b)}{\Gamma(\alpha)\Gamma(b-\alpha)} \int_{\Gamma_r} e^{zt} t^{\alpha-1} (1-t)^{b-\alpha-1} dt \quad (7)$$

$(r = 1, 2).$

Условие сходимости интеграла есть

$$\pi/2 < \arg z + \tau + 2n\pi < 3\pi/2$$

( $\tau$  — аргумент бесконечной точки на петлях  $\Gamma_1$  и  $\Gamma_2$ ).

<sup>2)</sup> Контур  $\Gamma_0$  обходится в положительном направлении.  
<sup>3)</sup>  $\Gamma_1$  и  $\Gamma_2$  проходятся в положительном направлении.

По соглашению<sup>4)</sup>:

$$-\pi < \arg z < \pi, \quad -\pi < \tau < +\pi \text{ (знак } \tau = \text{знак } \arg z).$$

В конце петли  $\Gamma_1$  и в начале петли  $\Gamma_2$ :

$$\begin{aligned} \arg t &= \tau, \\ \arg(1-t) &= \begin{cases} \tau - \pi, & \text{если } 0 < \tau < \pi, \\ \tau + \pi, & \text{если } -\pi < \tau < 0. \end{cases} \end{aligned}$$

При этих условиях

$$W_1(b-a, b; -z) = e^{-z} W_2(a, b; z), \quad (8a)$$

$$W_2(b-a, b; -z) = e^{-z} W_1(a, b; z) \quad (8b)$$

$$(-\pi < \arg z < +\pi; \quad -\pi < \arg(-z) < +\pi);$$

$$F(a, b; z) = W_1(a, b; z) + W_2(a, b; z). \quad (9)$$

*Асимптотические разложения решений  $W_1$  и  $W_2$  (они получаются методом скорейшего спуска):*

$$\begin{aligned} W_1(a, b; z) \underset{|z| \rightarrow \infty}{\sim} & \frac{\Gamma(b)}{\Gamma(b-a)} (-z)^{-a} \sum_{n=0}^{\infty} \frac{\Gamma(n+a)}{\Gamma(a)} \times \\ & \times \frac{\Gamma(n+a-b+1)}{\Gamma(a-b+1)} \frac{(-z)^n}{n!}, \quad (10) \end{aligned}$$

$$(-\pi < \arg(-z) < +\pi)$$

$$\begin{aligned} W_2(a, b; z) \underset{|z| \rightarrow \infty}{\sim} & \frac{\Gamma(b)}{\Gamma(a)} e^z z^{a-b} \sum_{n=0}^{\infty} \frac{\Gamma(n+1-a)}{\Gamma(1-a)} \times \\ & \times \frac{\Gamma(n+b-a)}{\Gamma(b-a)} \frac{z^{-n}}{n!} \quad (11) \end{aligned}$$

$$(-\pi < \arg z < +\pi).$$

## § 2. Полиномы Лагерра

*Определение<sup>5)</sup>:*

$$\begin{aligned} L_p^0 &= e^z \frac{d^p}{dz^p} (e^{-z} z^p), \quad L_p^k = (-1)^k \frac{d^k}{dz^k} L_{p+k}^0 \\ (k, p &= 0, 1, 2, \dots, \infty). \end{aligned} \quad (12)$$

<sup>4)</sup> Это соглашение предполагает  $\operatorname{Im} z \neq 0$ . Чтобы определить  $W_1$  и  $W_2$  на действительной оси, необходимо осуществить аналитическое продолжение. При этом результаты будут различными в случаях  $\operatorname{Im} z \rightarrow 0^+$  и  $\operatorname{Im} z \rightarrow 0^-$ .

<sup>5)</sup> Некоторые авторы символом  $L_p^k$  обозначают полином  $(-1)^k L_{p-k}^k$  в наших обозначениях.

$L_p^k$  есть полином степени  $p$ , обладающий  $p$  нулями между 0 и  $+\infty$ :

$$\begin{aligned} L_p^k(z) &= \frac{[(p+k)!]^2}{p!k!} F(-p, k+1; z) = \\ &= \sum_{s=0}^p (-1)^s \frac{[(p+k)!]^2}{(p-s)!(k+s)!s!} z^s. \end{aligned} \quad (13)$$

В частности,  $L_0^k = k!$

*Дифференциальное уравнение* (Лапласа):

$$\left[ z \frac{d^2}{dz^2} + (k+1-z) \frac{d}{dz} + p \right] L_p^k = 0. \quad (14)$$

*Производящая функция:*

$$\frac{e^{-\frac{zt}{1-t}}}{(1-t)^{k+1}} = \sum_{p=0}^{\infty} \frac{t^p}{(p+k)!} L_p^k(z) \quad (|t| < 1). \quad (15)$$

*Соотношения ортонормированности:*

$$\int_0^{\infty} e^{-z} z^k L_p^k L_q^k dz = \frac{[(p+k)!]^2}{p!} \delta_{pq}. \quad (16)$$

### § 3. Собственные функции водородоподобных атомов (теория Шредингера)

Введем обозначения

$$a = \frac{a_0}{Z} = \frac{\hbar^2}{Z m' e^2},$$

$a_0$  — радиус орбиты Бора,  $Ze$  — заряд ядра,  $m'$  — приведенная масса электрона.

*Собственные значения энергии:*

$$E_n = - \left( \frac{Ze^2}{\hbar c} \right)^2 \frac{m' c^2}{2n^2} = - \frac{1}{n^2} \frac{Ze^2}{2a}.$$

*Нормированные на единицу собственные функции в сферических координатах выражаются формулами:*

$$\psi_{nlm}(r, \theta, \phi) = a^{-3/2} N_{nl} F_{nl} \left( \frac{2r}{na} \right) Y_l^m(\theta, \phi), \quad (17)$$

$$N_{nl} = \frac{2}{n^2} \sqrt{\frac{(n-l-1)!}{[(n+l)!]^3}}, \quad (17a)$$

$$F_{nl}(x) = x^l e^{-x/2} L_{n-l-1}^{2l+1}(x) \quad (17b)$$

$$(n = 1, 2, \dots, \infty; l = 0, 1, \dots, n-1; m = -l, -l+1, \dots, l).$$

Приведем также рекуррентное соотношение между средними значениями степеней  $r$ , относящимися к одному собственному состоянию ( $nlm$ ):

$$\frac{s+1}{n^2} \langle r^s \rangle - (2s+1) a \langle r^{s-1} \rangle + \frac{s}{4} [(2l+1)^2 - s^2] a^2 \langle r^{s-2} \rangle = 0$$

$$(s > -2l-1);$$

$$\left\langle \frac{1}{r} \right\rangle = \frac{1}{n^2 a}; \quad \left\langle \frac{1}{r^2} \right\rangle = \frac{2}{(2l+1)n^3 a^2};$$

$$\langle r \rangle = \frac{1}{2} [3n^2 - l(l+1)] a; \quad \langle r^2 \rangle = \frac{1}{2} [5n^2 + 1 - 3l(l+1)] n^2 a^2.$$

Таблица первых радиальных функций:

$$\left( \rho = \frac{r}{a}, g_{nl}(\rho) = N_{nl} F_{nl} \left( \frac{2}{n} \rho \right) \right);$$

$$n=1 \quad g_{1s} = 2e^{-\rho},$$

$$n=2 \quad g_{2s} = \frac{\sqrt{2}}{2} \left( 1 - \frac{\rho}{2} \right) e^{-\rho/2}, \quad g_{2p} = \frac{\sqrt{6}}{12} \rho e^{-\rho/2},$$

$$n=3 \quad g_{3s} = \frac{2\sqrt{3}}{9} \left( 1 - \frac{2}{3}\rho + \frac{2}{27}\rho^2 \right) e^{-\rho/3},$$

$$g_{3p} = \frac{8\sqrt{6}}{27} \left( \rho - \frac{\rho^2}{6} \right) e^{-\rho/2}, \quad g_{3d} = \frac{2\sqrt{30}}{955} \rho^3 e^{-\rho/3}.$$

#### § 4. Чисто кулоновская волна

Пусть  $\psi_c(r)$  есть стационарная волновая функция рассеяния частицы чисто кулоновским потенциалом  $ZZ'e^2/r$ ,  $k = mv/\hbar$  = волновое число,  $v$  = начальная скорость.

Пусть также

$$\gamma = \frac{ZZ'e^2}{\hbar v}. \quad (18)$$

Тогда:

$$\psi_c = e^{-\frac{\pi}{2}\gamma} \Gamma(1+i\gamma) e^{ikz} F(-i\gamma, 1; ik(r-z)) = \quad (19)$$

$$= \psi_i + \psi_d, \quad (20)$$

$$\psi_i = e^{-\frac{\pi}{2}\gamma} \Gamma(1+i\gamma) e^{ikz} W_1(-i\gamma, 1; ik(r-z)), \quad (21)$$

$$\psi_d = e^{-\frac{\pi}{2}\gamma} \Gamma(1+i\gamma) e^{ikz} W_2(-i\gamma, 1; ik(r-z)). \quad (22)$$

Асимптотическая форма:

$$\psi_i \underset{k(r-z) \rightarrow \infty}{\sim} e^{ikz+i\gamma \ln k(r-z)} \left\{ 1 + \frac{\gamma^2}{ik(r-z)} + \dots \right\}, \quad (23)$$

$$\psi_d \underset{k(r-z) \rightarrow \infty}{\sim} f_c(\theta) \frac{e^{i(kr-\gamma \ln 2kr)}}{r} \left\{ 1 + \frac{(1+i\gamma)^2}{ik(r-z)} + \dots \right\}, \quad (24)$$

где

$$f_c(\theta) = -\frac{\gamma}{2k \sin^2 \frac{\theta}{2}} e^{-i\gamma \ln \left( \sin^2 \frac{\theta}{2} \right) + 2i\sigma_0}, \quad (25)$$

$$e^{2i\sigma_0} = \frac{\Gamma(1+i\gamma)}{\Gamma(1-i\gamma)}. \quad (26)$$

*Поведение вблизи начала координат:*

$$\psi_c(0) = e^{-\frac{\pi}{2}\gamma} \Gamma(1+i\gamma), \quad |\psi_c(0)|^2 = \frac{2\pi\gamma}{e^{2\pi\gamma} - 1}. \quad (27)$$

## § 5. Сферические кулоновские функции

*Дифференциальное уравнение.*

В сферических координатах проблема рассеяния из § 4 приводит для каждого значения  $l$  момента импульса к *радиальному уравнению*

$$\left[ \frac{d^2}{dr^2} + \left( k^2 - \frac{l(l+1)}{r^2} - \frac{2\gamma k}{r} \right) \right] y_l = 0. \quad (28)$$

Сферические кулоновские функции являются частными решениями этого уравнения. Это функции аргумента  $\rho = kr$ . Они зависят от энергии частицы через  $k$  и  $\gamma$ . Определяют регулярное ( $\sim r^{l+1}$ ) в начале решение  $Fy(\gamma, kr)$  и нерегулярные решения  $G_l$ ,  $u_l^{(+)}$  и  $u_l^{(-)}$  (сингулярность типа  $1/r^l$ ).

При помощи замены

$$z = -2i\rho, \quad y_l = e^{i\rho} \rho^{l+1} v_l$$

уравнение (28) сводится к уравнению Лапласа:

$$\left[ z \frac{d^2}{dz^2} + (2l+2-z) \frac{d}{dz} - (l+1+i\gamma) \right] v_l = 0,$$

регулярное в начале решение  $F(l+1+i\gamma, 2l+2; z)$  и два нерегулярных решения  $W_{1,2}(l+1+i\gamma, 2l+2; z)$  которого нам известны.

*Определения и соотношения между функциями:*

$$\begin{aligned} F_l(\gamma; \rho) &= c_l e^{i\rho} \rho^{l+1} F(l+1+i\gamma, 2l+2; -2i\rho) = \\ &= c_l e^{-i\rho} \rho^{l+1} F(l+1-i\gamma, 2l+2; 2i\rho), \end{aligned} \quad (29)$$

$$u_l^{(\pm)}(\gamma; \rho) = \pm 2ie^{\mp i\sigma_l} c_l e^{\pm i\gamma} \rho^{l+1} W_1(l+1 \pm i\gamma, 2l+2; \mp 2i\rho) = \quad (30a)$$

$$= \pm 2ie^{\mp i\sigma_l} c_l e^{\mp i\rho} \rho^{l+1} W_2(l+1 \mp i\gamma, 2l+2; \pm 2i\rho), \quad (30b)$$

$$G_l(\gamma; \rho) = \frac{1}{2} (u_l^{(+)} e^{i\sigma_l} + u_l^{(-)} e^{-i\sigma_l}). \quad (31)$$

Величины  $c_l$  и  $\sigma_l$  (кулоновский фазовый сдвиг) являются следующими функциями  $\gamma$ :

$$c_l = 2^l e^{-\frac{\pi}{2}\gamma} \frac{|\Gamma(l+1+i\gamma)|}{(2l+1)!}, \quad \sigma_l = \arg \Gamma(l+1+i\gamma) \quad (32)$$

или:  
для  $l = 0$

$$c_0 = \left( \frac{2\pi\gamma}{e^{2\pi\gamma} - 1} \right)^{1/2}, \quad \sigma_0 = \arg \Gamma(1 + i\gamma), \quad (32a)$$

для  $l \neq 0$

$$c_l = \frac{c_0}{(2l+1)!!} \cdot \prod_{s=1}^l \left( 1 + \frac{\gamma^2}{s^2} \right)^{1/2}, \quad \sigma_l = \sigma_0 + \sum_{s=1}^l \operatorname{arctg} \frac{\gamma}{s}. \quad (32b)$$

$F_l$  и  $G_l$  вещественны,

$$u_l^{(-)} = u_l^{(+)*},$$

$$F_l = \frac{1}{2i} (u_l^{(+)} e^{i\sigma_l} - u_l^{(-)} e^{-i\sigma_l}), \quad (33)$$

$$u_l^{(\pm)} = e^{\mp i\sigma_l} (G_l \pm iF_l). \quad (34)$$

Асимптотические формы ( $r \rightarrow \infty$ ,  $\rho \gg l(l+1) + \gamma^2$ ):

$$F_l \underset{\rho \rightarrow \infty}{\sim} \sin \left( \rho - \gamma \ln 2\rho - \frac{l\pi}{2} + \sigma_l \right), \quad (35)$$

$$G_l \underset{\rho \rightarrow \infty}{\sim} \cos \left( \rho - \gamma \ln 2\rho - \frac{l\pi}{2} + \sigma_l \right), \quad (36)$$

$$u_l^{(+)} \underset{\rho \rightarrow \infty}{\sim} \exp \left[ i \left( \rho - \gamma \ln 2\rho - \frac{l\pi}{2} \right) \right] \quad (\text{расходящаяся волна}), \quad (37)$$

$$u_l^{(-)} \underset{\rho \rightarrow \infty}{\sim} \exp \left[ -i \left( \rho - \gamma \ln 2\rho - \frac{l\pi}{2} \right) \right] \quad (\text{сходящаяся волна}). \quad (38)$$

Поведение вблизи начала координат ( $r \rightarrow 0$ ):

$$F_l \underset{\rho \rightarrow 0}{\sim} c_l \rho^{l+1} \left[ 1 + \frac{\gamma}{l+1} \rho + \dots \right], \quad (39)$$

$$G_l \underset{\rho \rightarrow 0}{\sim} \frac{1}{(2l+1)c_l} \rho^{-l} \left[ 1 + \begin{cases} O(\gamma \rho \ln \rho), & \text{если } l = 0; \\ O\left(\frac{\gamma}{l}\rho\right), & \text{если } l \neq 0. \end{cases} \right]. \quad (40)$$

Общее поведение функции  $F_l$ .

Когда  $\rho$  растет от 0 до  $\infty$ , функция  $F_l$  растет сначала как  $\rho^{l+1}$ , затем все быстрее (экспоненциально) до точки  $\rho = \gamma + \sqrt{\gamma^2 + l(l+1)}$ , затем функция бесконечно осциллирует между двумя экстремальными значениями, которые асимптотически стремятся к  $+1$  и  $-1$ ; период осцилляций асимптотически стремится к  $2\pi$ .

Рекуррентные формулы:

$$(2l+1) \left[ \gamma + \frac{l(l+1)}{\rho} \right] F_l = -l \sqrt{\gamma^2 + (l+1)^2} F_{l+1} + (l+1) \sqrt{\gamma^2 + l^2} F_{l-1} \quad (l \neq 0), \quad (41)$$

$$\left( 1 + \frac{\gamma^2}{l^2} \right)^{1/2} F_{l-1} = \left( \frac{d}{d\rho} + \frac{l}{\rho} + \frac{\gamma}{l} \right) F_l \quad (l \neq 0), \quad (42)$$

$$\left( 1 + \frac{\gamma^2}{l^2} \right)^{1/2} F_l = \left( -\frac{d}{d\rho} + \frac{l}{\rho} + \frac{\gamma}{l} \right) F_{l-1} \quad (l \neq 0). \quad (43)$$

Эти соотношения остаются справедливыми, если заменить  $F_l$  на  $U_l = aF_l + bG_l$  ( $a, b$  — произвольно выбранные коэффициенты, не зависящие от  $l$ ).

*Определитель Вронского* для функций  $G_l$  и  $F_l$  равен

$$G_l \frac{dF_l}{d\rho} - F_l \frac{dG_l}{d\rho} = 1, \quad (44)$$

откуда ( $l \neq 0$ )

$$G_l F_{l-1} - F_l G_{l-1} = \frac{l}{\sqrt{l^2 + \gamma^2}}. \quad (45)$$

Если  $\gamma = 0$ , то с точностью до множителя  $\rho$  получаем сферические функции Бесселя:

$$\begin{aligned} F_l(0; \rho) &= \rho j_l(\rho), & G_l(0; \rho) &= \rho n_l(\rho), \\ u_l^{(+)}(0; \rho) &= \rho h_l^{(+)}(\rho), & u_l^{(-)}(0; \rho) &= \rho h_l^{(-)}(\rho) \end{aligned} \quad (46)$$

(определение  $j_l$ ,  $n_l$ ,  $h_l^{(\pm)}$  см. в следующем разделе).

## Раздел II. СФЕРИЧЕСКИЕ ФУНКЦИИ БЕССЕЛЯ

### § 6. Сферические функции Бесселя

*Дифференциальное уравнение.*

В сферических координатах уравнение Шредингера для свободной частицы для каждого значения  $l$  момента импульса приводит к *радиальному уравнению*<sup>6)</sup>

$$\left[ \frac{1}{\rho} \frac{d^2}{d\rho^2} \rho + 1 - \frac{l(l+1)}{\rho^2} \right] f_l = \left[ \frac{d^2}{d\rho^2} + \frac{2}{\rho} \frac{d}{d\rho} + 1 - \frac{l(l+1)}{\rho^2} \right] f_l = 0. \quad (47)$$

В комплексной плоскости  $f_l$  имеет существенно особую точку в бесконечности и, в общем случае, полюс порядка  $l+1$  в начале  $\rho = 0$ .

Сферические функции Бесселя являются частными решениями этого уравнения; они определяют регулярную ( $\sim r^l$ ) в начале функцию  $j_l$  (самостоянно сферическую функцию Бесселя) и нерегулярные решения  $n_l$  (функция Неймана),  $h_l^{(+)}$  (функция Ганкеля первого рода) и  $h_l^{(-)}$  (функция Ганкеля второго рода).

*Определение*<sup>7)</sup>:

$$\begin{aligned} j_l(\rho) &= \left( \frac{\pi}{2\rho} \right)^{1/2} J_{l+1/2}(\rho), & n_l(\rho) &= (-1)^l \left( \frac{\pi}{2\rho} \right)^{1/2} J_{-l-1/2}(\rho), \\ h_l^{(\pm)}(\rho) &= n_l(\rho) \pm i j_l(\rho) \end{aligned}$$

( $J_v$  обозначает обычную функцию Бесселя порядка  $v$ );  $j_l$  и  $n_l$  вещественны,

$$h_l^{(-)} = h_l^{(+)*}. \quad (48)$$

<sup>6)</sup> Уравнение (28) для частного случая  $\gamma = 0$  получается при  $\rho = kr$ ,  $y_l = kr f_l(kr)$ .

<sup>7)</sup> Большинство авторов символом  $n_l$  обозначают ту же самую функцию, но с противоположным знаком, а в качестве сферических функций Ганкеля первого и второго рода принимают соответственно функции

$$h_l^{(1)} = -ih_l^{(+)} \text{ и } h_l^{(2)} = ih_l^{(-)}.$$

В явном виде:

$$\begin{aligned} j_l &= R_l \frac{\sin \rho}{\rho} + S_l \frac{\cos \rho}{\rho}, \quad n_l = R_l \frac{\cos \rho}{\rho} - S_l \frac{\sin \rho}{\rho}, \\ h_l^{(\pm)} &= (R_l \pm iS_l) \frac{e^{\pm i\rho}}{\rho}. \end{aligned} \quad (49)$$

Здесь  $R_l$  — полином по  $1/\rho$  степени  $l$  с вещественными коэффициентами и четностью  $(-1)^l$ ;  $S_l$  — полином по  $1/\rho$  степени  $l-1$  с вещественными коэффициентами и четностью  $(-1)^{l-1}$ ,

$$R_l + iS_l = \sum_{s=0}^l \frac{i^{s-l}}{2^s s!} \cdot \frac{(l+s)!}{(l-s)!} \rho^{-s}, \quad (50)$$

$$j_0 = \frac{\sin \rho}{\rho}, \quad n_0 = \frac{\cos \rho}{\rho}, \quad h_0^{(\pm)} = \frac{e^{\pm i\rho}}{\rho},$$

$$j_1 = \frac{\sin \rho}{\rho^2} - \frac{\cos \rho}{\rho}, \quad n_1 = \frac{\cos \rho}{\rho^2} + \frac{\sin \rho}{\rho}, \quad h_1^{(\pm)} = \left( \frac{1}{\rho^2} \mp \frac{l}{\rho} \right) e^{\pm i\rho}.$$

Асимптотические формы ( $\rho \rightarrow \infty$ ,  $\rho \gg l(l+1)$ ):

$$\begin{aligned} j_l &\underset{\rho \rightarrow \infty}{\sim} \frac{1}{\rho} \sin \left( \rho - \frac{l\pi}{2} \right), \quad n_l \underset{\rho \rightarrow \infty}{\sim} \frac{1}{\rho} \cos \left( \rho - \frac{l\pi}{2} \right), \\ h_l^{(\pm)} &\underset{\rho \rightarrow \infty}{\sim} \frac{1}{\rho} \exp \left[ \pm i \left( \rho - \frac{l\pi}{2} \right) \right] \left[ 1 \pm i \frac{l(l+1)}{2\rho} - \dots \right]. \end{aligned} \quad (51)$$

Поведение вблизи начала координат ( $\rho \rightarrow 0$ ):

$$\begin{aligned} j_l &\underset{\rho \rightarrow 0}{\sim} \frac{\rho^l}{(2l+1)!!} \left[ 1 - \frac{\rho^2}{2(2l+3)} + \dots \right], \\ n_l &\underset{\rho \rightarrow 0}{\sim} \frac{(2l+1)!!}{2l+1} \left( \frac{1}{\rho} \right)^{l+1} \left[ 1 + \frac{\rho^2}{2(2l-1)} + \dots \right]. \end{aligned} \quad (52)$$

Общее поведение  $j_l$ .

При возрастании  $\rho_{l+1}$  от 0 до  $+\infty$  функция  $\rho j_l$  сначала растет как  $\rho^{l+1}$ , затем все быстрее (экспоненциально) до точки  $\rho = \sqrt{l(l+1)}$ , затем она бесконечно осциллирует между двумя экстремальными значениями, которые асимптотически стремятся к +1 и -1 соответственно. Асимптотическая формула (51) является хорошим приближением, когда  $\rho \gg l(l+1)/2$ , однако амплитуда осцилляций практически достигает своего асимптотического значения (с точностью до 10%) уже при  $\rho \geqslant 2l$ .

Рекуррентные формулы.

Ниже будем считать, что  $f_l = aj_l + bn_l$ , где  $a$  и  $b$  — произвольно выбранные коэффициенты, не зависящие от  $l$ . Имеем ( $l \neq 0$ ):

$$(2l+1)f_l = \rho [f_{l+1} + f_{l-1}], \quad (53)$$

$$f_{l-1} = \left[ \frac{d}{d\rho} + \frac{l+1}{\rho} \right] f_l = \frac{1}{\rho^{l+1}} \frac{d}{d\rho} (\rho^{l+1} f_l), \quad (54)$$

$$f_l = \left[ -\frac{d}{d\rho} + \frac{l-1}{\rho} \right] f_{l-1} = -\rho^{l-1} \frac{d}{d\rho} \left( \frac{f_{l-1}}{\rho^{l-1}} \right), \quad (55)$$

так что

$$f_l = \left[ \rho^l \left( -\frac{1}{\rho} \frac{d}{d\rho} \right)^l \right] f_0. \quad (56)$$

*Определитель Вронского:*

$$\rho^2 \left[ n_l \left( \frac{d}{d\rho} j_l \right) - j_l \left( \frac{d}{d\rho} n_l \right) \right] = 1, \quad (57)$$

откуда ( $l \neq 0$ )

$$\rho^2 [n_l j_{l-1} - j_l n_{l-1}] = 1. \quad (58)$$

### Раздел III. ГАРМОНИЧЕСКИЙ ОСЦИЛЛЕТОР И ПОЛИНОМЫ ЭРМИТА

#### § 7. Полиномы Эрмита

*Определение:*

$$H_n(z) = (-1)^n e^{z^2} \left( \frac{d^n}{dz^n} e^{-z^2} \right) \quad (n = 0, 1, 2, \dots, \infty); \quad (59)$$

$H_n$  есть полином степени  $n$  четности  $(-1)^n$ , обладающий  $n$  нулями:

$$H_n(z) = \begin{cases} (-1)^p \frac{(2p)!}{p!} F \left( -p, \frac{1}{2}; z^2 \right), & \text{если } n = 2p; \\ (-1)^p 2 \frac{(2p+1)!}{p!} z F \left( -p, \frac{3}{2}; z^2 \right), & \text{если } n = 2p+1. \end{cases} \quad (60)$$

*Дифференциальное уравнение:*

$$\left[ \frac{d^2}{dz^2} - 2z \frac{d}{dz} + 2n \right] H_n(z) = 0. \quad (61)$$

*Производящая функция:*

$$e^{-s^2+2sz} = \sum_{n=0}^{\infty} \frac{s^n}{n!} H_n(z). \quad (62)$$

*Рекуррентные соотношения:*

$$\frac{d}{dz} H_n = 2n H_{n-1}, \quad (63)$$

$$\left( 2z - \frac{d}{dz} \right) H_n = H_{n-1}, \quad (64)$$

$$2z H_n = H_{n+1} + 2n H_{n-1}. \quad (65)$$

Явные выражения шести первых полиномов Эрмита:

$$\begin{aligned} H_0 &= 1, & H_1 &= 2z, \\ H_2 &= 4z^2 - 1, & H_3 &= 8z^3 - 12z, \\ H_4 &= 16z^4 - 48z^2 + 12, & H_5 &= 32z^5 - 160z^3 + 120z. \end{aligned}$$

### § 8. Собственные функции гармонического осциллятора

$u_n(Q)$  есть собственная функция, нормированная на единицу и принадлежащая собственному значению  $E_n = (n + 1/2)\hbar\omega$  ( $n = 0, 1, \dots, \infty$ ); фаза выбирается так, чтобы выполнялось соотношение (68), и чтобы  $u_0(0)$  была вещественной и положительной.

Уравнение на собственные значения  $\left( Q = \sqrt{\frac{m\omega}{\hbar}} q \right)$ :

$$\frac{1}{2} \left( Q^2 - \frac{d^2}{dQ^2} \right) u_n(Q) = \left( n + \frac{1}{2} \right) u_n(Q).$$

Производящая функция:

$$\pi^{-1/4} e^{-Q^2/2} e^{-t^2/2 + \sqrt{2}Qt} = \sum_{n=0}^{\infty} \frac{t^n}{\sqrt{n!}} u_n(Q). \quad (66)$$

Соотношения ортонормированности и замкнутости:

$$\int_{-\infty}^{+\infty} u_n u_p dQ = \delta_{np},$$

$$\sum_{n=0}^{\infty} u_n^*(Q) u_n(Q') = \delta(Q - Q').$$

Рекуррентные соотношения:

$$\frac{1}{\sqrt{2}} \left( Q + \frac{d}{dQ} \right) u_n = \sqrt{n} u_{n-1}, \quad (67)$$

$$\frac{1}{\sqrt{2}} \left( Q - \frac{d}{dQ} \right) u_n = \sqrt{n+1} u_{n+1}, \quad (68)$$

$$Qu_n = \sqrt{\frac{n+1}{2}} u_{n+1} + \sqrt{\frac{n}{2}} u_{n-1}. \quad (69)$$

Четность:

$$u_n(-Q) = (-1)^n u_n(Q).$$

Выражение через полиномы Эрмита:

$$u_n = (\sqrt{\pi} 2^n n!)^{-1/2} e^{-Q^2/2} H_n(Q). \quad (70)$$

### Раздел IV. ПОЛИНОМЫ И ФУНКЦИИ ЛЕЖАНДРА, СФЕРИЧЕСКИЕ ФУНКЦИИ

#### § 9. Полиномы и функции Лежандра

Определения:

Полином Лежандра

$$P_l(u) = \frac{1}{2^l \cdot l!} \frac{d^l}{du^l} (u^2 - 1)^l \quad (l = 0, 1, 2, \dots, \infty) \quad (71)$$

есть полином степени  $l$ , четности  $(-1)^l$ , обладающий  $l$  нулями в интервале  $(-1, +1)$ .

Функция Лежандра

$$P_l^m(u) = (1 - u^2)^{m/2} \frac{d^m}{du^m} P_l(u) = \frac{(1 - u^2)^{m/2}}{2^l \cdot l!} \frac{d^{l+m}}{du^{l+m}} (u^2 - 1)^l \quad (72)$$

$$(-1 \leq u \leq +1; \quad l = 0, 1, 2, \dots, \infty; \quad m = 0, 1, \dots, l)$$

есть произведение  $(1 - u^2)^{m/2}$  на полином степени  $l - m$  и четности  $(-1)^{l-m}$ , обладающий  $l - m$  нулями в интервале  $(-1, +1)$ . В частности,

$$\begin{aligned} m = l & \quad P_l^l = (2l - 1)!! (1 - u^2)^{l/2}, \\ m = 0 & \quad P_l^0 = P_l(u); \end{aligned} \quad (73)$$

$P_l(u)$  есть частный случай функции Лежандра

Дифференциальное уравнение:

$$\left[ (1 - u^2) \frac{d^2}{du^2} - 2u \frac{d}{du} + l(l + 1) - \frac{m^2}{1 - u^2} \right] P_l^m = 0. \quad (74)$$

Производящие функции:

$$\frac{1}{\sqrt{1 - 2tu + t^2}} = \sum_{l=0}^{\infty} t^l P_l(u), \quad (75)$$

$$(2m - 1)!! (1 - u^2)^{m/2} \frac{t^m}{[1 - 2tu + t^2]^{m+1/2}} = \sum_{l=-m}^{\infty} t^l P_l^m(u) \quad (|t| < 1) \quad (76)$$

Соотношения ортонормированности:

$$\int_{-1}^{+1} P_k^m P_l^m du = \frac{2}{2l + 1} \frac{(l + m)!}{(l - m)!} \delta_{kl}. \quad (77)$$

Рекуррентные соотношения:

$$(2l + 1) u P_l^m = (l + 1 - m) P_{l+1}^m + (l + m) P_{l-1}^m, \quad (78)$$

$$(1 - u^2) \frac{d}{du} P_l^m = -lu P_l^m + (l + m) P_{l-1}^m = \quad (79)$$

$$= (l + 1) u P_l^m - (l + 1 - m) P_{l+1}^m \quad (80)$$

(соотношения верны и при  $l = 0$ , если принять  $P_{-1} = 0$ ).

Частные значения

$$P_l(1) = 1, \quad P_l(-1) = (-1)^l,$$

$$P_l^m(1) = P_l^m(-1) = 0 \quad (m \neq 0),$$

$$P_l^m(0) = \begin{cases} (-1)^p \frac{(2p + 2m)!}{2^p p! (p + m)!}, & \text{если } l - m = 2p; \\ 0, & \text{если } l - m = 2p + 1. \end{cases} \quad (81)$$

Первые пять полиномов Лежандра:

$$P_0 = 1, \quad P_1 = u, \quad P_2 = \frac{1}{2} (3u^2 - 1),$$

$$P_3 = \frac{1}{2} (5u^3 - 3u), \quad P_4 = \frac{1}{8} (35u^4 - 30u^2 + 3),$$

## § 10. Сферические функции

Операторы  $L_x, L_y, L_z$  в сферических координатах. Операторы  $L_x, L_y, L_z$  являются дифференциальными эрмитовыми операторами, определенными (в системе единиц, где  $\hbar = 1$ ) формулой

$$\mathbf{L} = -i[r\nabla].$$

В качестве полярной оси выбираем  $Oz$ ;  $(r, \theta, \phi)$  — сферические координаты точки  $r$ ;  $\Omega = (\theta, \phi)$  обозначает совокупность двух угловых координат ( $\phi = 0$  есть плоскость  $zOx$ ,  $\phi = \pi/2$  — плоскость  $zOy$ ). Элемент телесного угла есть  $d\Omega = \sin \theta d\theta d\phi$ .

В сферических координатах имеем:

$$L_z = \frac{1}{i} \frac{\partial}{\partial \phi}, \quad (82)$$

$$L_{\pm} = L_x \pm iL_y = e^{\pm i\phi} \left[ \pm \frac{\partial}{\partial \theta} + i \operatorname{ctg} \theta \frac{\partial}{\partial \phi} \right], \quad (83)$$

$$L^2 = L_x^2 + L_y^2 + L_z^2 = - \left[ \frac{1}{\sin \theta} \frac{\partial}{\partial \theta} \left( \sin \theta \frac{\partial}{\partial \theta} \right) + \frac{1}{\sin^2 \theta} \cdot \frac{\partial^2}{\partial \phi^2} \right]. \quad (84)$$

*Определение сферических функций  $Y_l^m(\theta, \phi)$ .*

Общие собственные функции операторов  $L^2$  и  $L_z$ :

$$L^2 Y_l^m = l(l+1) Y_l^m, \quad (85)$$

$$L_z Y_l^m = m Y_l^m \quad (86)$$

$$(l = 0, 1, 2, \dots, \infty; \quad m = -l, -l+1, \dots, +l).$$

Завершают определения условия:

- a)  $Y_l^m$  нормированы на единицу на сфере радиуса 1;
- б) фазы выбраны так, чтобы удовлетворялись рекуррентные соотношения (89) и чтобы  $Y_l^0(0, 0)$  была действительной и положительной величиной.

*Соотношения ортонормированности и замкнутости:*

$$\int Y_l^m * Y_{l'}^{m'} d\Omega = \int_0^{2\pi} d\phi \int_0^\pi \sin \theta d\theta Y_l^m(\theta, \phi) Y_{l'}^{m'}(\theta, \phi) = \delta_{mm'} \delta_{ll'}, \quad (87)$$

$$\sum_{l=0}^{\infty} \sum_{m=-l}^l Y_l^m(\theta, \phi) Y_l^m(\theta', \phi') = \frac{\delta(\theta - \theta') \delta(\phi - \phi')}{\sin \theta} = \delta(\Omega - \Omega'). \quad (88)$$

Функции  $Y_l^m$  образуют полную ортонормированную систему квадратично интегрируемых функций на сфере радиуса 1.

*Рекуррентные соотношения:*

$$L_{\pm} Y_l^m = [l(l+1) - m(m \pm 1)]^{1/2} Y_l^{m \pm 1} = [(l \mp m)](l+1 \pm m)]^{1/2} Y_l^{m \pm 1}, \quad (89)$$

$$\cos \theta Y_l^m = \left[ \frac{(l+1+m)(l+1-m)}{(2l+1)(2l+3)} \right]^{1/2} Y_{l+1}^m + \left[ \frac{(l+m)(l-m)}{(2l+1)(2l-1)} \right]^{1/2} Y_{l-1}^m. \quad (90)$$

*Четность* при пространственном отражении  $(\theta, \varphi) \rightarrow (\pi - \theta, \varphi + \pi)$ :

$$Y_l^m(\pi - \theta, \varphi + \pi) = (-1)^l Y_l^m(\theta, \varphi). \quad (91)$$

*Комплексное сопряжение:*

$$Y_l^{m*}(\theta, \varphi) = (-1)^m Y_l^{-m}(\theta, \varphi). \quad (92)$$

*Связь с функциями Лежандра ( $m \geq 0$ ):*

$$Y_l^m(\theta, \varphi) = (-1)^m \left[ \frac{(2l+1)}{4\pi} \cdot \frac{(l-m)!}{(l+m)!} \right]^{1/2} P_l^m(\cos \theta) e^{im\varphi}. \quad (93)$$

Таким образом,  $Y_l^m$  есть произведение  $e^{im\varphi} \sin^l |m| \theta$  на полином степени  $l - |m|$  и четности  $(-1)^{l-m}$  от  $\cos \theta$ . В частности,

$$m=0 \quad Y_l^0 = \sqrt{\frac{2l+1}{4\pi}} P_l(\cos \theta), \quad (94)$$

$$m=l \quad Y_l^l = (-1)^l \left[ \frac{(2l+1)}{4\pi} \cdot \frac{(2l)!}{2^{2l} (l!)^2} \right]^{1/2} \sin^l \theta e^{il\varphi}. \quad (95)$$

*Гармонические полиномы и сферические функции.*

Однородные полиномы степени  $l$  от  $x, y, z$

$$\mathcal{Y}_l^m(r) \equiv r^l Y_l^m(\theta, \varphi) \quad (m = -l, -l+1, \dots, +l) \quad (96)$$

образуют последовательность  $2l+1$  линейно независимых гармонических полиномов степени  $l$ <sup>8</sup>:

$$\Delta \mathcal{Y}_l^m(r) = 0. \quad (97)$$

<sup>8)</sup> Формула (97) следует из операторного соотношения, верного для всякой функции, ограниченной при  $r = 0$ :

$$\Delta \equiv \frac{1}{r} \frac{d^2}{dr^2} r - \frac{\mathbf{L}^2}{r^2}.$$

По определению полином  $h(x, y, z)$  есть гармонический полином, если он однороден по  $x, y, z$  и удовлетворяет уравнению  $\Delta h = 0$ ; существует  $2l+1$  линейно независимых полиномов.

Несколько первых сферических функций:

$$\begin{aligned}
 Y_0^0 &= \frac{1}{\sqrt{4\pi}}, \quad Y_1^0 = \sqrt{\frac{3}{4\pi}} \cos \theta, \quad Y_2^0 = \sqrt{\frac{5}{16\pi}} (3 \cos^2 \theta - 1), \\
 Y_3^0 &= \sqrt{\frac{7}{16\pi}} (5 \cos^3 \theta - 3 \cos \theta), \\
 Y_1^1 &= -\sqrt{\frac{3}{8\pi}} \sin \theta e^{i\varphi}, \quad Y_2^1 = -\sqrt{\frac{15}{8\pi}} \sin \theta \cos \theta e^{i\varphi}, \\
 Y_3^1 &= -\sqrt{\frac{21}{64\pi}} \sin \theta (5 \cos^2 \theta - 1) e^{i\varphi}, \\
 Y_2^2 &= \sqrt{\frac{15}{32\pi}} \sin^2 \theta e^{2i\varphi}, \quad Y_3^2 = \sqrt{\frac{105}{32\pi}} \sin^2 \theta \cos \theta e^{2i\varphi}, \\
 Y_3^3 &= -\sqrt{\frac{35}{64\pi}} \sin^3 \theta e^{3i\varphi}.
 \end{aligned}$$

## Раздел V РАЗЛОЖЕНИЯ И РАЗЛИЧНЫЕ ФОРМУЛЫ

*Теорема сложения:*

$$\frac{2l+1}{4\pi} \cdot P_l(\cos \alpha) = \sum_{m=-l}^{+l} Y_l^{m*}(\theta_1, \varphi_1) Y_l^m(\theta_2, \varphi_2) \quad (98)$$

( $\alpha$  — угол между направлениями  $(\theta_1, \varphi_1)$  и  $(\theta_2, \varphi_2)$ ).  
Функции Грина операторов  $\Delta$  и  $\Delta + k^2$ ):

$$\frac{1}{|\mathbf{r}_1 - \mathbf{r}_2|} = \sum_{l=0}^{\infty} \frac{r'_<}{r'_>} P_l(\cos \alpha), \quad (99)$$

$$\frac{e^{ik|\mathbf{r}_1 - \mathbf{r}_2|}}{|\mathbf{r}_1 - \mathbf{r}_2|} = k \sum_{l=0}^{\infty} (2l+1) i_l(kr'_<) h_l^{(+)}(kr'_>) P_l(\cos \alpha), \quad (100)$$

$$\frac{\cos(k|\mathbf{r}_1 - \mathbf{r}_2|)}{|\mathbf{r}_1 - \mathbf{r}_2|} = k \sum_{l=0}^{\infty} (2l+1) i_l(kr'_<) n_l(kr'_>) P_l(\cos \alpha) \quad (101)$$

( $\alpha$  — угол между направлениями  $\mathbf{r}_1$  и  $\mathbf{r}_2$ ;  $r'_<$  — меньшая из длин  $r_1$  и  $r_2$ ,  $r'_>$  — большая из длин  $r_1$  и  $r_2$ ).

Формулы (100) и (101) верны при любых  $k$ , в том числе и при комплексных  $k$ .

$$\Delta \left( \frac{1}{r} \right) = -4\pi \delta(r), \quad (\Delta + k^2) \frac{e^{ikr}}{r} = -4\pi \delta(r),$$

$$(\Delta + k^2) \frac{\cos kr}{r} = -4\pi \delta(r).$$

*Разложение плоской волны и чисто кулоновской волновой функции расстояния.*

Полярная ось направлена по оси  $z$ , совпадающей с направлением начального волнового вектора  $\mathbf{k}$ :

$$e^{ikz} = \sum_{l=0}^{\infty} (2l+1) i^l l_l(\mathbf{kr}) P_l(\cos \theta), \quad (102)$$

$$\psi_c = \frac{1}{kr} \sum_{l=0}^{\infty} (2l+1) i^l e^{i\sigma_l} F_l(\gamma; \mathbf{kr}) P_l(\cos \theta), \quad (103)$$

$$f_c(\theta) = \frac{1}{k} \sum_{l=0}^{\infty} (2l+1) e^{i\sigma_l} \sin \sigma_l P_l(\cos \theta). \quad (104)$$

Определения  $\gamma$ ,  $\psi_c$ ,  $f_c(\theta)$ ,  $F_l$ ,  $\sigma_l$  даны в § 4 и 5 (уравнения (18), (19), (25), (29) и (32)).

При другом выборе полярной оси разложения (102), (103) и (104) остаются верными, если под  $\theta$  подразумевать угол между направлениями  $\mathbf{k}$  и  $\mathbf{r}$ .

Пользуясь теоремой сложения, можно получить разложения по сферическим функциям от аргументов  $(\theta_k, \varphi_k)$  и  $(\theta_r, \varphi_r)$ . Например,

$$e^{ikr} = 4\pi \sum_{l=0}^{\infty} \sum_{m=-l}^{+l} i^l j_l(\mathbf{kr}) Y_l^m(\theta_k, \varphi_k) Y_l^m(\theta_r, \varphi_r). \quad (105)$$